

# مقایسه معیارهای پذیرش مهاربندهای ضربدری در روش‌های ارزیابی سریع، تفصیلی و آینه نامه طراحی سازه‌های فولادی

حبيب سامي<sup>۱</sup> و سيدمهدى زهرابي<sup>۲\*</sup>

<sup>۱</sup>دانش آموخته کارشناسی ارشد سازه دانشکده مهندسی عمران - پردیس دانشکده فنی - دانشگاه تهران

<sup>۲</sup>دانشیار دانشکده مهندسی عمران - پردیس دانشکده فنی - دانشگاه تهران

(تاریخ دریافت روایت اصلاح شده ۱۴/۱۱/۸۷، تاریخ تصویب ۳۰/۱۰/۸۸)

## چکیده

در این مقاله مقایسه پارامتریک و عددی آینه نامه طراحی سازه‌های فولادی، دستورالعمل ارزیابی تفصیلی و سریع ساختمان‌های موجود برای مهاربندهای ضربدری (X-شکل) انجام می‌شود. برای مقایسه، ابتدا فرض می‌شود که ساختمان با آینه نامه طراحی سازه‌های فولادی طرح شده و سپس با تعریف عوامل تبدیل و با استفاده از نسبت تنش طراحی اعضا، امکان پاسخگویی آن توسط دستورالعمل ارزیابی تفصیلی و سریع ساختمان‌های موجود برای عملکرد اینه نامه طراحی می‌شود. با استفاده از این روش معیارهای پذیرش مهاربندهای ضربدری بررسی شده است و موارد اختلاف به صورت مشروح برای ساختمان‌های ۲، ۴، ۶ و ۸ طبقه آورده شده و بیانگر این حقیقت است که برخی (به طور تقریبی ۵ درصد) مهاربندهای ضربدری طرح شده توسط آینه نامه طراحی از دید دستورالعمل ارزیابی تفصیلی و سریع ساختمان‌های موجود مردود هستند. در مقابل برخی اعضای مردود از دید آینه نامه طراحی، از دید دستورالعمل ارزیابی تفصیلی و سریع ساختمان‌های موجود مورد قبول هستند. در ضمن با روش مشابه و با فرض اینکه اعضای ساختمان از دید ارزیابی سریع قابل قبول هستند، امکان پاسخگویی آن توسط دستورالعمل ارزیابی تفصیلی بررسی می‌شود. بر این اساس برخی (به طور تقریبی ۵۰ درصد) مهاربندهای ضربدری قابل قبول از دید دستورالعمل ارزیابی سریع ساختمان‌های موجود، از دید ارزیابی تفصیلی مردودند. در مقابل برخی اعضای مردود از دید ارزیابی سریع، از دید ارزیابی تفصیلی مورد قبول هستند.

**واژه‌های کلیدی:** ارزیابی تفصیلی، ارزیابی سریع، مهاربندهای ضربدری، معیارهای پذیرش، سطح عملکرد اینه نامی جانی

## مقدمه

ASCE/SEI 31-03[3] و FEMA356[2]، FEMA273[1] یا دستورالعمل بهسازی (ارزیابی تفصیلی) [۴] و دستورالعمل ارزیابی سریع [۵] کشورمان بیان شده‌اند را می‌توان روش‌هایی دقیق‌تر و منطبق بر طراحی سازه‌های موجود دانست. با این حال به دلیل جدید بودن موضوع و اینکه هنوز دستورالعمل بهسازی کامل و بازبینی نشده و همچنین دستورالعمل ارزیابی سریع در حال حاضر در حد پیش‌نویس است، مواردی را می‌توان یافت که متناقض با این اصل است و مقایسه آن با ضوابط آینه نامه طراحی مفید به نظر می‌رسد. همچنین در مقایسه معیارهای پذیرش روش‌های ارزیابی سریع با تفصیلی، انتظار می‌رود که اعضای مقبول از دید ارزیابی سریع، از دید ارزیابی تفصیلی نیز پذیرفته شوند، ولی باز هم مواردی را می‌توان یافت که متناقض با این اصل است و نیاز به مقایسه این دو روش ارزیابی نیز ضروری به نظر می‌رسد.

در روش‌های تفصیلی، بررسی وضعیت سازه در سطوح

در سال‌های اخیر پیدایش دیدگاه طراحی بر اساس عملکرد از یک طرف و توجه به ارزش اقتصادی ساختمان‌های موجود، هزینه‌های جانی ناشی از کاربردهای مختلف آنها و ممکن نبودن توقف بهره‌برداری بسیاری از ساختمان‌ها از طرف دیگر و همچنین صدمه‌ها و خسارت‌های زلزله بر ساختمان‌ها، باعث شد تا روش‌های ارزیابی و بهسازی لرزه‌ای به مرور بسط و گسترش یابند و همه ظرفیت‌های سازه مورد بررسی قرار گرفته و ضرایب اطمینان آگاهانه‌تر استفاده شوند. با توجه به فلسفه این دستورالعمل‌ها، ضرایب اینه نامی در نظر گرفته شده در آینه نامه‌های طراحی باید از ضرایب اینه نامی این دستورالعمل‌ها بزرگ‌تر باشد. با توجه به این موضوع دستورالعمل می‌رود که سازه‌های طراحی شده مطابق آینه نامه‌های طراحی معمولی، توسط دستورالعمل‌های ارزیابی و بهسازی لرزه‌ای نیز تأیید شوند. در واقع روش‌های ارزیابی و بهسازی لرزه‌ای سازه‌ها که در دستورالعمل‌های نظری

سپس ضرایب  $m_d^q$  تعیین شده با ضریب  $m$  موجود در ارزیابی سریع مقایسه می‌شود.

برای مقایسه ارزیابی تفصیلی با ارزیابی سریع با فرض اینکه اعضای سازه از دید ارزیابی سریع پذیرفته شده‌اند، امکان پاسخگویی و پذیرفته شدن آنها برای سطح عملکرد ایمنی جانی از دید ارزیابی تفصیلی بررسی می‌شود. با توجه به کنترل معیار پذیرش  $Q_{UD} \leq kmQ_{CE}$  در ارزیابی تفصیلی برای اعضای کنترل‌شونده توسط تغییر شکل، متناظر ضریب  $m$  ارزیابی تفصیلی، ضریبی به نام  $m_d^c = \frac{Q_{UD}}{Q_{CE}}$  تعریف می‌شود. سپس ضرایب  $m_d^c$  تعیین شده با ضریب  $m$  موجود در ارزیابی تفصیلی مقایسه می‌شود. از آنجایی که سیستم مورد مطالعه، سیستم مهاربندی شده با محورهای متقارب است، بنابراین ضرایب  $m_d^q$ ،  $m_d^c$  و  $m_q^c$  برای اعضای مهاربندی که کنترل‌شونده توسط تغییر شکل هستند تعیین می‌شود. در ضمن جزئیات برای ساختمان‌های ۲، ۴، ۶ و ۸ طبقه ارائه می‌شوند.

### مقایسه آیین‌نامه طراحی با ارزیابی تفصیلی کلیات

همان‌طور که اشاره شد، ضریب  $m_d^c$  با توجه به نسبت تنش طراحی  $SR$  تعیین شده و با ضریب  $m$  موجود در ارزیابی تفصیلی مقایسه می‌شود. از آن رو که روش‌های طراحی اغلب خطی هستند، برای مقایسه این روش خطی تحلیل ارزیابی تفصیلی و معیار پذیرش  $Q_{UD} \leq kmQ_{CE}$  مورد استفاده قرار گرفته است. بنابراین برای تعیین  $m_d^c$  به روش زیر عمل می‌شود:

$$Q_{UD} \leq kmQ_{CE}, k=1 \Rightarrow \frac{Q_{UD}}{Q_{CE}} \leq m$$

$$Q_{UD} = Q_G \pm Q_E$$

$$Q_{UD} = 1.1(DL + LL) \pm C_1 C_2 C_3 C_m S_a W \quad (1)$$

در روابط بالا  $k$  ضریب آگاهی بوده که برابر با یک فرض می‌شود.  $S_a$  شتاب طیفی بوده و برابر با حاصل ضرب شتاب مبدأ در ضریب بازتاب است. بقیه عوامل عبارتند از:  $Q_{UD}$ : تلاش کنترل‌شونده توسط تغییر شکل ناشی از بارهای ثقلی و زلزله مطابق روش ارزیابی تفصیلی.

$Q_{CE}$ : مقاومت مورد انتظار عضو مطابق ارزیابی تفصیلی.

$Q_E$ : تلاش ناشی از نیروی زلزله مطابق ارزیابی تفصیلی.

$Q_G$ : تلاش ناشی از بارهای ثقلی مطابق ارزیابی تفصیلی.

برای تبدیل مقاومت طراحی به مقاومت مورد انتظار عضو

مختلف خطر از روش مدلسازی کامل انجام گرفته و با تحلیل سطوح عملکرد سازه کنترل می‌شود. این کنترل از راه مقایسه نیروها و تغییر شکل‌های خطی یا غیرخطی اعضاء و مقایسه آنها با مقادیر مجاز (معیارهای پذیرش) انجام می‌گردد. ولی روش‌های ارزیابی سریع، اغلب در کنار چکلیست‌ها، چند ضابطه تحلیلی از قبیل کنترل تنش‌های برشی یا محوری دارد که محدود به کنترل‌های سریع بوده و برای محاسبه و کنترل کفایت سختی و مقاومت اجزای مشخصی از ساختمان، انجام می‌شود.

در این مقاله ابتدا نحوه مقایسه پارامتریک معیارهای پذیرش روش‌های ارزیابی لرزه‌ای تفصیلی، سریع و آیین‌نامه طراحی سازه‌های فولادی برای مهاربندهای ضربه‌ری با استفاده از تحلیل‌های خطی بیان می‌شود. سپس با مثال‌های عددی، روش ارائه شده صحت‌سنگی می‌شود.

### کلیات روش مقایسه پارامتریک برای اعضای

#### کنترل‌شونده توسط تغییر شکل

روش مقایسه آیین‌نامه طراحی با ارزیابی تفصیلی و سریع به این ترتیب است که فرض می‌شود سازه با آیین‌نامه طراحی [۸۷، ۶] طرح شده باشد، سپس با توجه به نسبت تنش طراحی موجود در عضو،  $SR$ ، امكان پاسخگویی آن توسط ارزیابی تفصیلی و سریع برای سطح عملکرد ایمنی جانی بررسی می‌شود. لازم به ذکر است که اندیس‌های  $d$ ،  $c$  و  $q$  به ترتیب برای نمایش آیین‌نامه طراحی، ارزیابی تفصیلی و ارزیابی سریع به کار رفته است.

برای مقایسه آیین‌نامه طراحی با ارزیابی تفصیلی با توجه به کنترل معیار پذیرش  $Q_{UD} \leq kmQ_{CE}$  در ارزیابی تفصیلی برای اعضای کنترل‌شونده توسط تغییر شکل، متناظر ضریب  $m$  ارزیابی تفصیلی، ضریبی به نام  $m_d^c = \frac{Q_{UD}}{Q_{CE}}$  تعریف می‌شود که با توجه به نسبت تنش طراحی  $SR$  تعیین می‌شود. سپس ضرایب  $m_d^c$  با ضریب  $m$  موجود در ارزیابی تفصیلی مقایسه می‌شود.

همانند روش ذکر شده، برای مقایسه آیین‌نامه طراحی با ارزیابی سریع، با توجه به کنترل معیار پذیرش ارزیابی سریع و شبیه‌سازی آن به صورت  $Q_{UD} \leq kmQ_{CE}$  برای اعضای کنترل‌شونده توسط تغییر شکل، متناظر ضریب  $m$  ارزیابی سریع، ضریبی به نام  $m_d^q = \frac{Q_{UD}}{Q_{CE}}$  تعریف می‌شود که با توجه به نسبت تنش طراحی  $SR$  تعیین می‌شود.

جدول ۱: مقادیر  $\alpha$  برای ساختمان‌های ۲، ۴، ۶ و ۸ طبقه.

Building Story	C <sub>1</sub>	C <sub>2</sub>	C <sub>3</sub>	C <sub>m</sub>	I	$\alpha$
2	1.38	1	1	1.0	1	1.38
4	1.20	1	1	0.9	1	1.08
6	1.05	1	1	0.9	1	0.95
8	1.00	1	1	0.9	1	0.90

### تعیین مقادیر $\beta$ برای ساختمان‌های مورد مطالعه

از آنجایی که که در هر دو روش ارزیابی تفصیلی و آینه نامه طراحی [۷]، استفاده از رابطه تجربی  $(h)^{0.75}$  برای تعیین پریود ساختمان‌های مهاربندی ۰.۰۵ برموده مجاز است، بنابراین مقدار  $\beta$  با توجه به تعریف آن برای ساختمان‌های مورد مطالعه برابر با یک است.

### تعیین مقادیر $\eta$ برای ساختمان‌های مورد مطالعه

با توجه به نحوه توزیع نیروی زلزله در ارتفاع ساختمان در روش‌های آینه نامه طراحی طبق رابطه (۱۰) و ارزیابی تفصیلی طبق رابطه (۱۱) می‌توان گفت برای ساختمان‌های با پریود کمتر از ۰.۵۸ مقدار ضریب  $k$  برابر یک می‌شود و در نتیجه نحوه توزیع نیروی زلزله در آینه نامه طراحی و ارزیابی تفصیلی یکی شده و مقدار  $\eta$  برابر با یک می‌شود. برای حالتی که پریود ساختمان بین ۰.۵s تا ۰.۷s باشد، مقدار ضریب  $\eta$  بزرگ‌تر از یک و برای ساختمان‌های با پریود بزرگ‌تر از ۰.۷s ضریب  $\eta$  به علت اعمال نیروی شلاقی آینه نامه طراحی در تراز بام، کوچک‌تر از یک است. بنابراین با توجه به بررسی‌های انجام شده مقدار ضریب  $\eta$  برای ساختمان‌های ۲، ۴ و ۶ طبقه برابر با ۱.۰۰ و برای ساختمان ۸ طبقه برابر با ۱.۰۱ به دست آمد:

$$f_{id} = \frac{w_i h_i}{\sum_{j=1}^{i=n} w_j h_j} (V_d - f_t) \quad (10)$$

$$\& \quad \text{if } T \leq 0.7 \Rightarrow f_t = 0$$

$$f_{ic} = \frac{w_i h_i^k}{\sum_{j=1}^{i=n} w_j h_j^k} V_c \quad (11)$$

$$\& \quad k = 0.5T + 0.75 \quad \text{if } T \leq 0.5 \Rightarrow k = 1$$

### تعیین مقادیر $\lambda$ برای ساختمان‌های مورد مطالعه

برای همه ساختمان‌ها، مقدار  $\lambda$  برای مهاربندی‌ها ثابت و برابر است با:

$$\lambda = \frac{Q_{CE}}{Q_d} = \frac{1.7 \times 1.1 \times BF_a A_{br}}{1.33 BF_a A_{br}} = 1.4$$

ضریبی با نام  $\lambda$  طبق رابطه (۲) تعریف می‌شود:

$$\lambda = \frac{Q_{CE}}{Q_d} \quad (2)$$

: مقاومت عضو مطابق آینه نامه طراحی .

نسبت تنش طراحی  $SR$  طبق رابطه (۳) به دست می‌آید

که برای تعیین ضریب  $m_d^c$  به کار می‌رود:

$$SR = \frac{Q_u}{Q_d} \quad (3)$$

$$Q_u = DL + LL + \frac{AB_d I}{R} W \quad (4)$$

: تلاش طراحی عضو مطابق آینه نامه طراحی .

با توجه به روابط (۲) و (۳) و (۴)، مقاومت مورد انتظار

عضو، مطابق روش ارزیابی تفصیلی ( $Q_{CE}$ ) را بر حسب

عوامل طراحی محاسبه می‌کنیم:

$$Q_{CE} = \lambda Q_d = \lambda \frac{Q_u}{SR} = \lambda \left[ DL + LL + \frac{AB_d I}{R} W \right] \quad (5)$$

با تعریف ضرایب  $\eta, \gamma, \beta, \alpha$  به صورت زیر و با توجه

به روابط (۱) و (۵)، ضریب  $m_d^c$  به این شکل تعیین

می‌شود:

$$\alpha: \text{نسبت} \quad (6)$$

ضرایب بار زلزله روش ارزیابی تفصیلی به آینه نامه طراحی:

$$\alpha = \frac{C_1 C_2 C_3 C_m}{I} \quad (6)$$

$\beta$ : نسبت ضرایب بازتاب روش ارزیابی تفصیلی به آینه نامه طراحی:

$$\beta = \frac{B_c}{B_d} \quad (7)$$

$\gamma$ : نسبت نیروهای ثقلی به زلزله آینه نامه طراحی:

$$\gamma = \frac{DL + LL}{\frac{AB_d I}{R} W} \quad (8)$$

$\eta$ : ضریب ناشی از تفاوت توزیع نیروی زلزله در طبقات

روش ارزیابی تفصیلی و آینه نامه طراحی:

$$m_d^c = \frac{Q_{UD}}{Q_{CE}} = \frac{1.1(DL + LL) + C_1 C_2 C_3 C_m AB_c W}{\frac{\lambda}{SR} \left[ DL + LL + \frac{AB_d I}{R} W \right]} \quad (9)$$

$$\Rightarrow m_d^c = \frac{1.1\gamma + \alpha\beta\eta R}{\lambda(1+\gamma)} SR$$

### تعیین مقادیر $\alpha$ برای ساختمان‌های مورد مطالعه

در جدول (۱) مقادیر  $\alpha$  ارائه شده است. ضرایب مورد

نیاز برای محاسبه مقادیر  $\alpha$  بر اساس بند (۳-۱-۲).

دستورالعمل بهسازی و برای زمین نوع دوم تعیین شده‌اند.

قابل ملاحظه نیروهای زلزله در دو روش آینه نامه طراحی و ارزیابی تفصیلی برای ساختمان‌های کوتاه است.

### مقایسه آینه نامه طراحی با ارزیابی سریع کلیات

همان‌طور که اشاره شد، ضریب  $m_d^q$  با توجه به نسبت تنش طراحی  $SR$  تعیین شده و با ضریب  $m$  موجود در ارزیابی سریع مقایسه می‌شود. بنابراین به نوعی روش ارزیابی سریع را همانند روش ارزیابی تفصیلی شبیه‌سازی کرده و با آینه نامه طراحی مقایسه می‌شود. محاسبه نیروی محوری و نحوه کنترل سریع و معیار پذیرش مهاربندها در روش ارزیابی سریع مطابق روش زیر انجام می‌گیرد [۱۳و۱۵]:

$$f_j = \frac{1}{m} \left( \frac{v_j}{SN_{br}} \right) \left( \frac{L_{br}}{A_{br}} \right) \leq 0.5 f_y \quad (17)$$

$L_{br}$ : متوسط طول مهاربندها (m)

$N_{br}$ : تعداد مهاربندهای کششی و فشاری، هر گاه مهاربندها برای فشار طراحی شده باشند. تعداد مهاربندهای کششی اگر مهاربندها فقط برای کشش طراحی شده باشند.

$S$ : متوسط طول دهانه‌های مهاربندی شده (m)

$A_{br}$ : متوسط سطح مقطع مهاربندها ( $m^2$ )

$v_j$ : برش طبقه در تراز  $j$

$m$ : ضریب اصلاح ظرفیت اعضای مهاربندی که با توجه به نوع مهاربند و سطح عملکرد طبق جدول (۸-۳) ASCE/SEI 31-03 تعیین می‌شود.

معیار پذیرش روش ارزیابی سریع را با معیار پذیرش روش ارزیابی تفصیلی مطابقت داده و با تعریف عوامل زیر ارزیابی سریع را همانند ارزیابی تفصیلی شبیه‌سازی کرده و با آینه نامه طراحی مقایسه می‌شود:

$$Q_{CE} = 0.5 f_y A_{br}$$

$$Q_{UD} = \left( \frac{v_j}{SN_{br}} \right) \left( \frac{L_{br}}{A_{br}} \right) A_{br}$$

$$\frac{Q_{UD}}{Q_{CE}} \leq m$$

با توجه به روابط ذکر شده می‌توان پی برد که در روش ارزیابی سریع  $Q_{UD}$  فقط تابع نیروی زلزله است، بنابراین

برای تعیین  $m_d^q$  به روش زیر عمل می‌شود:

$$Q_{UD} \leq km Q_{CE}, \quad k=1 \Rightarrow \frac{Q_{UD}}{Q_{CE}} \leq m$$

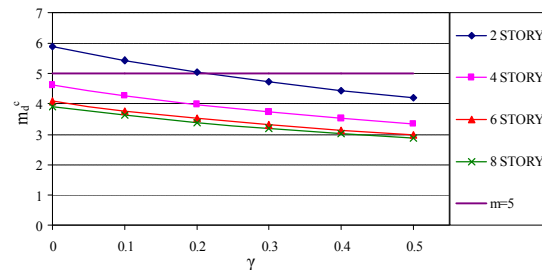
$$Q_{UD} = Q_E = CS_a W = CAB_q W \quad (18)$$

تعیین  $m_d^c$  مهاربندهای ساختمان‌های مورد مطالعه در حالت کلی مقادیر  $m_d^c$  طبق رابطه (۹) تعیین می‌شود. با توجه به سیستم مهاربندی و با مقدار ضرایب  $R = 6$ ,  $SR = 1$ ,  $\beta = 1$ ,  $\lambda = 1.4$  رابطه (۱۲) خلاصه می‌شود

$$m_d^c = \frac{0.786\gamma + 4.29\alpha\eta}{(1+\gamma)} \quad (12)$$

جدول ۲:  $m_d^c$  مهاربندهای ساختمان‌های ۲، ۴، ۶ و ۸ طبقه.

Building Story	$\alpha$	$\eta$	$m_d^c$
2	1.38	1.00	$\frac{0.786\gamma + 5.91}{(1+\gamma)}$ (۱۳)
4	1.08	1.00	$\frac{0.786\gamma + 4.63}{(1+\gamma)}$ (۱۴)
6	0.95	1.00	$\frac{0.786\gamma + 4.08}{(1+\gamma)}$ (۱۵)
8	0.90	1.01	$\frac{0.786\gamma + 3.90}{(1+\gamma)}$ (۱۶)



شکل ۱: نمودارهای تعییرات  $m_d^c$  مهاربندها بر حسب  $\gamma$ .

برای مقایسه ضرایب  $m_d^c$  ارزیابی تفصیلی و ضرایب  $m_d^q$  خط  $m=5$  که طبق معیار پذیرش ارزیابی تفصیلی برای مهاربندهای فشاری زوج ناوданی و زوج نبشی ضریب تعیین کننده‌ای است، روی نمودار شکل (۱) مشخص شده است. محدوده بالای خط  $m=5$ ، محدوده مهاربندهایی است که از دید ارزیابی تفصیلی مقبول هستند. نکته قابل ملاحظه‌ای که از نمودارها بر می‌آید این است که محدوده قابل ملاحظه‌ای از مهاربندهای طراحی شده توسعه آینه نامه طراحی از دید ارزیابی تفصیلی نیز قابل قبول هستند. در ضمن با توجه به شکل (۱) فقط مهاربندهای طراحی شده برای ساختمان‌های کوتاه (کمتر از ۳ طبقه) امکان دارند از دید ارزیابی تفصیلی مردود شوند و این بیشتر به دلیل تفاوت

### تعیین مقادیر $\alpha$ برای ساختمان‌های مورد مطالعه

در جدول (۳) مقادیر  $\alpha$  ارائه شده است. ضریب  $C$  مورد نیاز برای محاسبه مقادیر  $\alpha$  بر اساس جدول (۴-۳) ASCE/SEI 31-03 [۲] تعیین شده است.

جدول ۳: مقادیر  $\alpha$  برای ساختمان‌های ۲، ۴، ۶ و ۸ طبقه.

Building Story	C	I	$\alpha$
2	1.2	1.0	1.2
4, 6 & 8	1.0	1.0	1.0

تعیین مقادیر  $\beta$  برای ساختمان‌های مورد مطالعه از آنجا که در هر دو روش ارزیابی سریع و آین نامه طراحی، استفاده از رابطه تجربی  $(h)^{0.75}$  برای تعیین پریود ساختمان‌های مهاربندی هم محور مجاز است، بنابراین مشابه حالت قبل، مقدار  $\beta$  برابر با یک است.

تعیین مقادیر  $\eta$  برای ساختمان‌های مورد مطالعه از آنجا که نحوه توزیع نیروی زلزله در ارتفاع برای روش‌های ارزیابی سریع و تفصیلی یکی است، بنابراین در این بخش نیز طبق بند قبلی محاسبه می‌شود.  $\eta$  مقادیر

### تعیین مقادیر $\lambda$ برای ساختمان‌های مورد مطالعه

برای همه ساختمان‌ها، مقدار  $\lambda$  برای مهاربندی‌ها متغیر بوده و تابع لاغری مهاربندها است و برابر است با:

$$\lambda = \frac{Q_{CE}}{Q_d} = \frac{0.5 f_y A_{br}}{1.33 BF_a A_{br}} = 0.376 \left( \frac{F_y}{BF_a} \right)$$

$$B = \left( \frac{1}{1 + \frac{kl/r}{2C_c}} \right) \quad (۲۴)$$

که  $B$  ضریب کاهش تنش است [۷] و با توجه به بررسی‌های انجام شده  $0.7 \leq \lambda \leq 1.7$  است.

### تعیین $m_d^q$ مهاربندهای ساختمان‌های مورد مطالعه

در حالت کلی مقادیر  $m_d^q$  طبق رابطه (۲۳) تعیین می‌شود. با توجه به سیستم مهاربندی و با مقدار ضرایب رابطه (۲۳) خلاصه می‌شود:

$$m_d^q = \frac{6\alpha\eta}{\lambda(1+\gamma)} \quad (۲۵)$$

در روابط بالا  $k$  ضریب آگاهی است که برابر با یک فرض می‌شود و  $S_a$  شتاب طیفی بوده و برابر با حاصل ضرب شتاب مبنا در ضریب بازتاب است. بقیه عوامل عبارتند از:  $Q_{UD}$ : تلاش کنترل‌شونده توسط تغییر شکل ناشی از بارهای زلزله (نیروی ایجاد شده در عضو مهاربندی مطابق با روش ارزیابی سریع).

$Q_{CE}$ : مقاومت مورد انتظار مهاربندی مطابق ارزیابی سریع.  $Q_d$ : تلاش ناشی از نیروی زلزله مطابق روش ارزیابی سریع، برای تبدیل مقاومت طراحی به مقاومت مورد انتظار عضو مطابق روش ارزیابی سریع، ضریبی به نام  $\lambda$  طبق رابطه (۱۹) تعریف می‌شود:

$$\lambda = \frac{Q_{CE}}{Q_d} \quad (۱۹)$$

$Q_d$ : مقاومت عضو مطابق آین نامه طراحی نسبت تنش طراحی  $SR$  در این بخش نیز طبق رابطه (۳) به دست می‌آید که برای تعیین ضریب  $m_d^q$  نیز به کار می‌رود. با توجه به روابط (۳) و (۴) و (۱۹)، مقاومت مورد انتظار عضو مطابق روش ارزیابی سریع ( $Q_{CE}$ ) را بر حسب عوامل طراحی محاسبه می‌کنیم:

$$Q_{CE} = \lambda Q_d = \lambda \frac{Q_u}{SR} = \frac{\lambda}{SR} \left[ DL + LL + \frac{AB_d I}{R} W \right] \quad (۲۰)$$

با تعریف ضرایب  $\eta, \gamma, \beta, \alpha$  به صورت زیر و با توجه به روابط (۱۸) و (۲۰)، ضریب  $m_d^q$  تعیین می‌شود:  $\alpha$ : نسبت ضرایب بار زلزله روش ارزیابی سریع به آین نامه طراحی:

$$\alpha = \frac{C}{I} \quad (۲۱)$$

$\beta$ : نسبت ضرایب بازتاب ارزیابی سریع به آین نامه طراحی:

$$\beta = \frac{B_q}{B_d} \quad (۲۲)$$

$\gamma$ : نسبت نیروهای ثقلی به زلزله آین نامه طبق رابطه (۸)  $\eta$ : ضریب ناشی از تفاوت توزیع نیروی زلزله در طبقات روش ارزیابی سریع و آین نامه طراحی:

$$m_d^q = \frac{Q_{UD}}{Q_{CE}} = \frac{CAB_q W}{\frac{\lambda}{SR} \left[ DL + LL + \frac{AB_d I}{R} W \right]} \quad (۲۳)$$

$$\Rightarrow m_d^q = \frac{\alpha\beta\eta R}{\lambda(1+\gamma)} SR$$

توسط آیین‌نامه طراحی از دید ارزیابی سریع نیز قابل قبول هستند.

### مقایسه روش ارزیابی سریع با ارزیابی تفصیلی کلیات

همان‌طور که اشاره شد، برای مقایسه فرض می‌کنیم که اعضای سازه از دید ارزیابی سریع پذیرفته شده‌اند و با توجه به کنترل معیار پذیرش  $Q_{UD} \leq kmQ_{CE}$  در ارزیابی تفصیلی برای اعضای کنترل‌شونده توسط تغییر شکل، با تعریف ضریب  $m_q^c = \frac{Q_{UD}}{Q_{CE}}$  برای مهاربندها متناظر با ضریب  $m$  روش ارزیابی تفصیلی، امکان پاسخگویی آن توسط ارزیابی تفصیلی برای سطح عملکرد ایمنی جانی بررسی می‌شود. پس ضرایب  $m_q^c$  تعیین شده با ضریب  $m$  موجود در ارزیابی تفصیلی مقایسه می‌شود.

همان‌طور که در بخش (۱-۲-۲) اشاره شد، محاسبه نیروی محوری و نحوه کنترل سریع و معیار پذیرش مهاربندها در روش ارزیابی سریع مطابق رابطه (۱۷) انجام می‌گیرد. با بررسی رابطه (۱۷)، معیار پذیرش روش ارزیابی سریع را با معیار پذیرش روش آیین‌نامه طراحی سازه‌های فولادی مطابقت داده و با تعریف عوامل زیر روش ارزیابی سریع را همانند روش آیین‌نامه طراحی سازه‌های فولادی شبیه‌سازی کرده و با ارزیابی تفصیلی مقایسه می‌شود:

$$\begin{aligned} f_j \leq 0.5f_y &\Rightarrow \frac{mf_j}{0.5f_y} \leq m \\ &\Rightarrow \frac{\left(\frac{v_j}{SN_{br}}\right)\left(\frac{L_{br}}{A_{br}}\right)A_{br}}{0.5f_y A_{br}} \leq m \Leftrightarrow \frac{Q_u^q}{Q_d^q} \leq m = 6 \\ SR_q^c &= \frac{Q_u^q}{Q_d^q} \end{aligned} \quad (29)$$

$$Q_d^q = 0.5f_y A_{br} \quad (30)$$

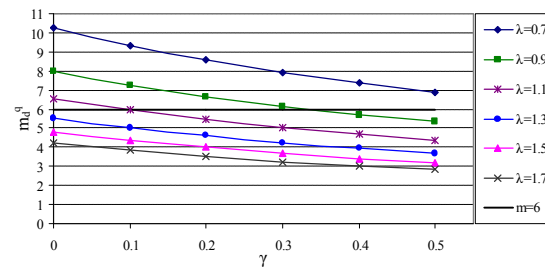
$SR_q^c$ : نسبت تنش‌ها مطابق ارزیابی سریع و  $Q_d^q \leq 0$  (در نقش نسبت تنش مطابق آیین‌نامه طراحی،  $SR$ ).

$Q_d^q$ : مقاومت عضو مطابق ارزیابی سریع (در نقش مقاومت طراحی آیین‌نامه،  $Q_d$ ).

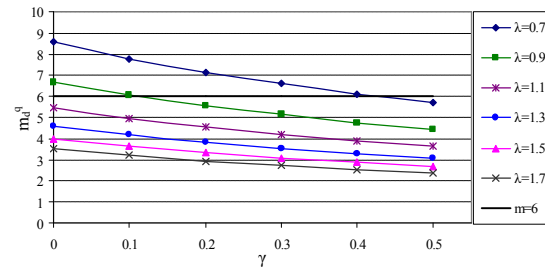
$Q_u^q$ : تلاش طراحی ایجادشده در عضو مطابق ارزیابی سریع (در نقش تلاش طراحی ایجادشده در عضو مطابق

جدول ۴: مهاربندهای ساختمان‌های ۲، ۴، ۶ و ۸ طبقه.

Building Story	$\alpha$	$\eta$	$m_d^q$	
2	1.2	1.00	$\frac{7.2}{\lambda(1+\gamma)}$	(۲۶)
4 & 6	1.0	1.00	$\frac{6.0}{\lambda(1+\gamma)}$	(۲۷)
8	1.0	1.01	$\frac{6.06}{\lambda(1+\gamma)}$	(۲۸)



شکل ۲: تغییرات  $m_d^q$  مهاربندهای سازه دو طبقه بر حسب  $\gamma$ .



شکل ۳: نمودارهای تغییرات  $m_d^q$  مهاربندهای ساختمانهای چهار، شش و هشت طبقه بر حسب  $\gamma$ .

برای مقایسه ضرایب  $m_d^q$  ارزیابی سریع و ضرایب  $m=6$  که طبق معیار پذیرش ارزیابی سریع برای مهاربندهای فشاری زوج ناودانی و زوج نبشی، ضریب تعیین‌کننده‌ای است، روی نمودار اشکال (۲) تا (۳) مشخص شده است. محدوده بالای خط ۶، محدوده مهاربندهایی است که از دید ارزیابی سریع مردود هستند و محدوده زیر خط ۶، محدوده مهاربندهایی را مشخص می‌کند که از دید ارزیابی سریع مقبول هستند. نکته قابل ملاحظه‌ای که از نمودارها بر می‌آید این است که با کاهش  $\lambda$  و ارتفاع ساختمان، امکان اینکه مهاربندهای طراحی‌شده توسط آیین‌نامه طراحی از دید ارزیابی سریع مردود شوند، بیشتر می‌شود و این بیشتر به دلیل تفاوت قابل ملاحظه نیروهای زلزله در دو روش آیین‌نامه طراحی و ارزیابی سریع برای ساختمان‌های کوتاه است. اما به هر حال محدوده قابل ملاحظه‌ای از مهاربندهای طرح شده

$$m_q^c = \frac{Q_{UD}}{Q_{CE}} = \frac{1.1(DL + LL) + C_1 C_2 C_3 C_m A B_c W}{\lambda SR_d^q} [CAB_q W] \quad (38)$$

$$\Rightarrow m_q^c = \frac{(1+\gamma)\alpha\beta\eta}{\lambda} SR_d^q$$

#### تعیین مقادیر $\alpha$ برای ساختمان‌های مورد مطالعه

در جدول (۵) مقادیر  $\alpha$  ارائه شده است. ضرایب مورد نیاز برای محاسبه مقادیر  $\alpha$  بر اساس بند (۳-۱-۳-۲) دستورالعمل بهسازی و جدول (۴-۳) ASCE/SEI 31-03 و برای زمین نوع دوم تعیین شده‌اند.

جدول ۵: مقادیر  $\alpha$  برای ساختمان‌های ۲، ۴، ۶ و ۸ طبقه.

Building Story	C <sub>1</sub>	C <sub>2</sub>	C <sub>3</sub>	C <sub>m</sub>	C	$\alpha$
2	1.38	1.0	1.0	1.0	1.2	1.15
4	1.20	1.0	1.0	0.9	1.0	1.08
6	1.05	1.0	1.0	0.9	1.0	0.95
8	1.00	1.0	1.0	0.9	1.0	0.90

#### تعیین مقادیر $\beta$ برای ساختمان‌های مورد مطالعه

از آنجا که در هر دو روش ارزیابی سریع و تفصیلی، استفاده از رابطه تجربی  $0.05(h)^{0.75}$  برای تعیین پریود ساختمان‌های مهاربندی هم‌محور مجاز است، بنابراین مشابه حالت قبل مقدار  $\beta$  برابر با یک است.

#### تعیین مقادیر $\eta$ برای ساختمان‌های مورد مطالعه

از آنجا که نحوه توزیع نیروی زلزله در ارتفاع برای روش‌های ارزیابی سریع و تفصیلی یکی است، بنابراین کلیه ساختمان‌ها  $\eta = 1$  است.

#### تعیین مقادیر $\lambda$ برای ساختمان‌های مورد مطالعه

برای همه ساختمان‌ها مقدار  $\lambda$  برای مهاربندی‌ها متغیر بوده و تابع لاغری مهاربندها است و برابر است با:

$$\lambda = \frac{Q_{CE}}{Q_d^q} = \frac{1.7 \times 1.1 \times BF_a A_{br}}{0.5 F_y A_{br}} = \frac{3.74 BF_a}{F_y} \quad (39)$$

با توجه به بررسی‌های انجام شده  $0.8 \leq \lambda \leq 2.0$  است.

#### تعیین $m_q^c$ مهاربندهای ساختمان‌های مورد مطالعه

در حالت کلی مقادیر  $m_q^c$  طبق رابطه (۳۸) تعیین می‌شود. با توجه به سیستم مهاربندی و با مقدار ضرایب  $\alpha = \eta = 1$ ،  $SR_d^c = 6$ ،  $0.8 \leq \lambda \leq 2.0$ ،  $0 \leq \gamma \leq 0.12$

رابطه (۳۸) به این ترتیب خلاصه می‌شود:

$$m_q^c = \frac{6(1+\gamma)\alpha}{\lambda} \quad (40)$$

آینه نامه طراحی،  $Q_u$ .

با توجه به معیار پذیرش  $Q_{UD} \leq km Q_{CE}$  در روش ارزیابی

تفصیلی، برای تعیین  $m_{qc}$  به روش زیر عمل می‌شود:

$$Q_{UD} \leq km Q_{CE} , k = 1 \Rightarrow \frac{Q_{UD}}{Q_{CE}} \leq m \quad (31)$$

در روابط بالا،  $k$  ضریب آگاهی بوده که برابر با یک فرض

می‌شود. بقیه عوامل عبارتند از:

$Q_{UD}$ : تلاش کنترل‌شونده توسط تغییر شکل ناشی از رابهای ثقلی و زلزله مطابق روش ارزیابی تفصیلی که طبق رابطه (۱) به دست می‌آید.

$Q_{CE}$ : مقاومت مورد انتظار عضو مطابق ارزیابی تفصیلی.

$m_q^c$ : ضریبی متناظر با ضریب  $m$  روش ارزیابی تفصیلی.

برای تبدیل مقاومت عضو مطابق روش ارزیابی سریع به مقاومت مورد انتظار عضو مطابق روش ارزیابی تفصیلی ضریبی با نام  $\lambda$  طبق رابطه (۳۲) تعریف می‌شود:

$$\lambda = \frac{Q_{CE}}{Q_d^q} \quad (32)$$

با توجه به معیار پذیرش روش ارزیابی سریع و رابطه

(۳۰)، نتیجه می‌گیریم که  $Q_u^q$  فقط تابعی از نیروی زلزله است:

$$Q_u^q = CS_a W = CAB_q W \quad (33)$$

با توجه به روابط (۲۹) و (۳۲) و (۳۳)، مقاومت مورد انتظار

عضو، مطابق روش ارزیابی تفصیلی ( $Q_{CE}$ ) را بر حسب عوامل روش ارزیابی سریع محاسبه می‌کنیم:

$$Q_{CE} = \lambda Q_d^q = \lambda \frac{Q_u^q}{SR_d^q} = \frac{\lambda}{SR_d^q} [CAB_q W] \quad (34)$$

با تعریف ضرایب  $\eta, \gamma, \beta, \alpha$  به صورت زیر و با توجه

به روابط (۱) و (۳۴)، ضریب  $m_q^c$  به صورت زیر تعیین می‌شود:

$\alpha$ : نسبت ضرایب بار زلزله ارزیابی تفصیلی به سریع:

$$\alpha = \frac{C_1 C_2 C_3 C_m}{C} \quad (35)$$

$\beta$ : نسبت ضرایب بازتاب روش ارزیابی تفصیلی به سریع:

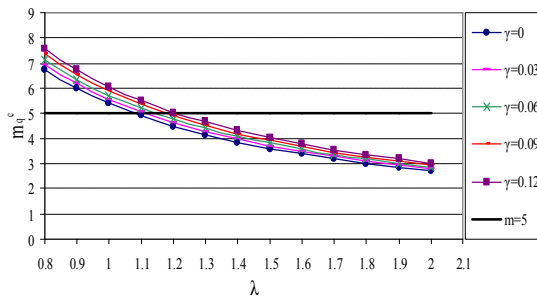
$$\beta = \frac{B_c}{B_q} \quad (36)$$

$\gamma$ : نسبت نیروهای ثقلی به زلزله روش ارزیابی تفصیلی:

$$\gamma = \frac{1.1(DL + LL)}{C_1 C_2 C_3 C_m A B_c W} \quad (37)$$

$\eta$ : ضریب ناشی از تفاوت توزیع نیروی زلزله در طبقات

روش ارزیابی تفصیلی به روش ارزیابی سریع:



شکل ۷: نمودارهای تغییرات  $m_q^c$  مهاربندهای ساختمان هشت طبقه بر حسب  $\lambda$ .

برای مقایسه ضرایب  $m$  ارزیابی تفصیلی و ضرایب  $m_q^c$  خط  $m=5$  که طبق معیار پذیرش ارزیابی تفصیلی برای مهاربندهای فشاری زوج ناودانی و زوج نبشی ضریب تعیین کننده‌ای است، روی نمودار اشکال (۴) تا (۷) مشخص شده است. محدوده بالای خط  $m=5$  محدوده مهاربندهایی است که از دید ارزیابی تفصیلی مردود هستند و محدوده زیر خط  $m=5$ ، محدوده مهاربندهایی را مشخص می‌کند که از دید ارزیابی تفصیلی مقبول هستند. نکته قابل ملاحظه‌ای که از نمودارها بر می‌آید این است که با کاهش  $\lambda$  و ارتفاع ساختمان، امکان اینکه مهاربندهای مقبول از دید ارزیابی سریع، از دید ارزیابی تفصیلی مردود شوند بیشتر می‌شود. نکته قابل توجه این است که بر خلاف انتظار، محدوده قابل ملاحظه‌ای از مهاربندهای مقبول از دید ارزیابی سریع، از دید ارزیابی تفصیلی مردود هستند.

#### نتایج عددی برای صحت‌سنگی روش مقایسه پارامتریک در حالت‌های مختلف مورد بررسی

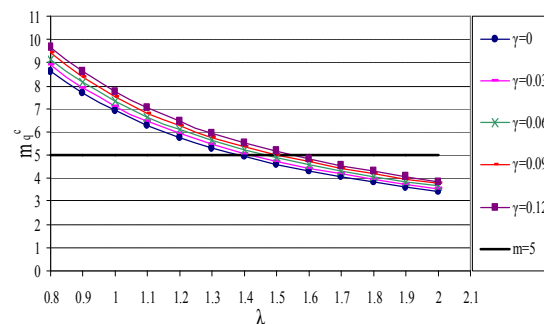
در این بخش چند نمونه ساختمان دو، چهار و شش طبقه با استفاده از نرم‌افزار [۹] ETABS2000 طراحی شده و سپس برای اعتباربخشی به نتایج قسمت قبلی، مهاربندها مطابق ارزیابی سریع و تفصیلی کنترل می‌شوند. در ضمن معیارهای پذیرش ارزیابی سریع نیز با ارزیابی تفصیلی برای مدل‌های نمونه مقایسه خواهد شد.

#### مشخصات مدل‌ها

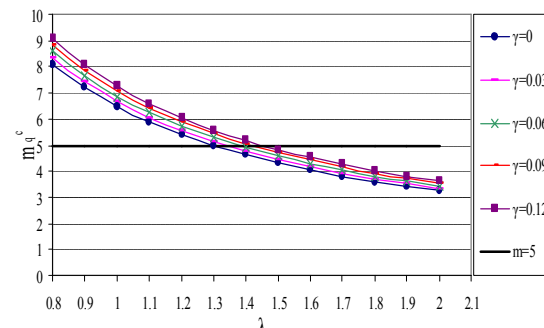
ساختمان‌های دو و چهار طبقه در دو حالت بادبنده مطابق با پلان‌های اشکال (۸) و (۹) و ساختمان شش طبقه فقط در یک حالت بادبنده مطابق با پلان شکل (۹) مدل‌سازی می‌شوند. بنابراین در کل پنج نمونه مدل

جدول ۶:  $m_q^c$  مهاربندهای ساختمان‌های ۲، ۴، ۶ و ۸ طبقه.

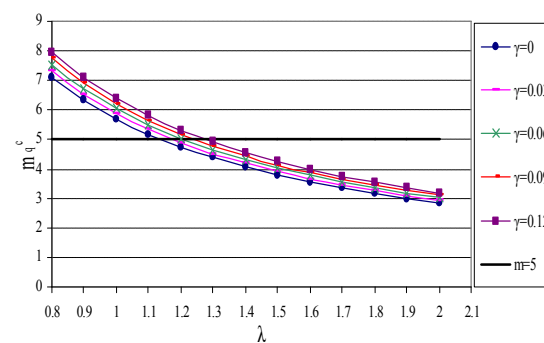
Building Story	$\alpha$	$m_q^c$
2	1.15	$\frac{6.9(1+\gamma)}{\lambda}$ (۴۱)
4	1.08	$\frac{6.48(1+\gamma)}{\lambda}$ (۴۲)
6	0.95	$\frac{5.7(1+\gamma)}{\lambda}$ (۴۳)
8	0.90	$\frac{5.4(1+\gamma)}{\lambda}$ (۴۴)



شکل ۴: نمودارهای تغییرات  $m_q^c$  مهاربندهای ساختمان دو طبقه بر حسب  $\lambda$ .



شکل ۵: نمودارهای تغییرات  $m_q^c$  مهاربندهای ساختمان چهار طبقه بر حسب  $\lambda$ .



شکل ۶: نمودارهای تغییرات  $m_q^c$  مهاربندهای ساختمان شش طبقه بر حسب  $\lambda$ .

جدول ۶: مشخصات ساختمان‌های مورد بررسی برای مدل‌سازی.

توضیحات	مشخصات	توضیحات	مشخصات
I=1	ضریب اهمیت ساختمان	3.2 m	ارتفاع طبقات
A=0.35	شتاپ مینای طرح	تیرچه بلوك	پوشش سقف
دو	نوع زمین	640 kg/m <sup>2</sup>	بار مرده طبقات
2IPE	مقاطع ستونها	620 kg/m <sup>2</sup>	بار مرده بام
زوج ناودانی (2UNP)	مقاطع مهاربندها	200 kg/m <sup>2</sup>	بار زنده طبقات
		150 kg/m <sup>2</sup>	بار زنده بام

مدل‌های نمونه ابتدا با نرم‌افزار ETABS2000 به صورت سبدی مدل‌سازی و بر مبنای استاندارد ۲۸۰۰ [۶] طراحی شده‌اند. لازم به ذکر است که تغییر مکان نسبی طبقات را کنترل کرده و در ضمن محدودیت لاگری مهاربندها مطابق استاندارد ۲۸۰۰ رعایت شده است. سپس مهاربندها مطابق ارزیابی سریع و تفصیلی کنترل می‌شوند. در ضمن معیارهای پذیرش ارزیابی سریع نیز با ارزیابی تفصیلی برای مدل‌های نمونه مقایسه خواهد شد.

### کنترل مهاربندها

در جدول (۹) درصد مهاربندهای مردود و نحوه کنترل آنها در حالت‌های مختلف مورد بررسی، برای مدل‌های نمونه ارائه شده است. این جدول شامل چهار قسمت است:

- ﴿ مشخصات مهاربندهای طراحی شده.
- ﴿ مقایسه آیین‌نامه طراحی با ارزیابی تفصیلی (d-c).
- ﴿ مقایسه آیین‌نامه طراحی با ارزیابی سریع (d-q).
- ﴿ مقایسه ارزیابی سریع با ارزیابی تفصیلی (q-c).

**الف) مشخصات مهاربندهای طراحی شده**  
این قسمت جدول (۹) شامل مقاطع طراحی شده مهاربندها برای مدل‌های نمونه است.

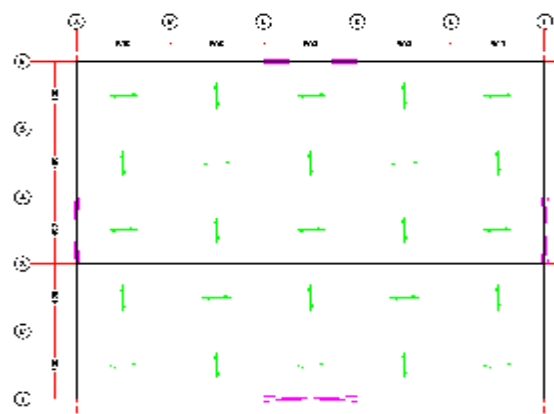
**ب) مقایسه آیین‌نامه طراحی با ارزیابی تفصیلی**  
این قسمت جدول (۹) شامل مقادیر  $m_r^{dc} = \frac{Q_{UD}}{Q_{CE}}$  به

طبق جدول (۷) برای طراحی و کنترل خواهیم داشت.

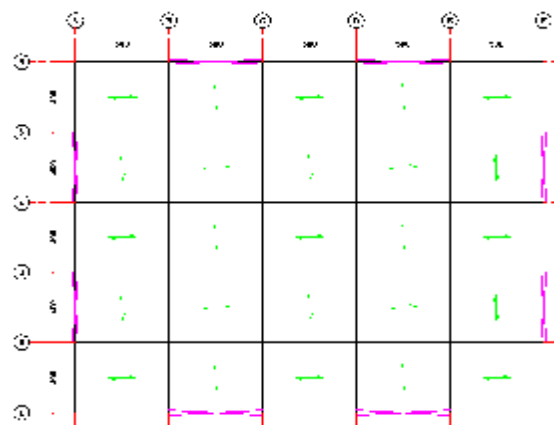
جدول ۷: مدل‌های مورد بررسی بر اساس طبقه و نوع پلان.

مدل	تعداد طبقات	نوع پلان
2ST-1	2	1
2ST-2	2	2
4ST-1	4	1
4ST-2	4	2
6ST-2	6	2

مقاطع ستون‌ها از دوبل IPE چسبیده یا با فاصله با ورق یا بدون ورق و مقاطع مهاربندها از دوبل ناودانی با فاصله یک سانتی‌متر از هم هستند. سایر مشخصات ساختمان‌ها مطابق جدول (۸) است.



شکل ۸: پلان نوع ۱ ساختمان‌های مورد مطالعه.



شکل ۹: پلان نوع ۲ ساختمان‌های مورد مطالعه.

جدول باید بدان اشاره کرد این است که فقط مهاربندهای طراحی شده برای ساختمان دو طبقه، همان طور که نتایج قسمت قبلی نیز تأیید کرد، امکان دارند از دید ارزیابی تفصیلی مردود شوند؛ به طوری که در حدود ۲۵ درصد مهاربندها مردود شده‌اند (مهاربندهای مردود رنگی شده‌اند).

دست آمده از تحلیل خطی مدل‌های نمونه بر اساس روش ارزیابی تفصیلی، مقادیر  $m$  طبق معیار پذیرش ارزیابی تفصیلی و همچنین مقادیر  $m_d^c$  تعریف شده طبق بخش (۱-۲) است. با دقت در مقادیر  $m_d^c$  و  $m_r^{dc}$  می‌توان پی برد که انطباق خوبی بین آن‌ها وجود دارد. بنابراین می‌توان نتایج قسمت قبلی (مقایسه پارامتریک) را با اعتبار بیشتری به کار برد. نکته قابل توجهی که از این قسمت

جدول ۹: کنترل مهاربندها در حالت‌های مختلف مورد بررسی.

ساختمان			مقایسه آینه نامه طراحی با ارزیابی تفصیلی (d-c)						مقایسه آینه نامه طراحی با ارزیابی سریع (d-q)						مقایسه ارزیابی سریع با ارزیابی تفصیلی (q-c)						
Building Story	MODEL	STORY	SECTION	$m_d^c$	$m_r^{dc}$	$m$	درصد مهاربندهای مردود (مدل)	درصد مهاربندهای مردود (ساختمان)	$m_d^q$	$m_r^{dq}$	$m$	درصد مهاربندهای مردود (مدل)	درصد مهاربندهای مردود (ساختمان)	$m_q^c$	$m_r^{qc}$	$m$	درصد مهاربندهای مردود (مدل)	درصد مهاربندهای مردود (ساختمان)	$m$	درصد مهاربندهای مردود (مدل)	درصد مهاربندهای مردود (ساختمان)
2	2ST-1-X	2	2UNP10	5.59	5.58	5	50%	25%	5.12	5.16	6	0%	0%	6.53	6.49	5	100%	100%	100%	100%	100%
		1	2UNP14	4.93	4.92	5			5.28	5.27	6			5.59	5.61	5					
	2ST-1-Y	2	2UNP10	5.33	5.32	5			5.54	5.56	6			5.75	5.73	5					
		1	2UNP14	4.77	4.76	5			5.68	5.67	6			5.02	5.04	5					
	2ST-2-X	2	2UNP8	4.01	4.00	5			3.16	3.17	6			7.59	7.58	5					
		1	2UNP10	4.41	4.40	5			3.97	3.98	6			6.64	6.64	5					
	2ST-2-Y	2	2UNP8	3.65	3.64	5			3.41	3.41	6			6.40	6.41	5					
		1	2UNP10	4.19	4.19	5			4.29	4.29	6			5.85	5.86	5					
4	4ST-1-X	4	2UNP12	3.82	3.81	5	0%	0%	4.09	4.10	6	25%	0%	5.53	5.57	5	12.5%	12.5%	12.5%	12.5%	12.5%
		3	2UNP16	4.33	4.32	5			5.23	5.26	6			4.97	4.93	5					
		2	2UNP18	4.49	4.48	5			5.75	5.87	6			4.69	4.58	5					
		1	2UNP20	4.37	4.35	5			5.81	5.70	6			4.51	4.59	5					
	4ST-1-Y	4	2UNP12	3.70	3.69	5			4.41	4.42	6			4.97	5.02	5					
		3	2UNP16	4.21	4.19	5			5.58	5.67	6			4.51	4.44	5					
		2	2UNP18	4.49	4.48	5			6.20	6.32	6			4.35	4.25	5					
		1	2UNP20	4.44	4.43	5			6.32	6.14	6			4.21	4.33	5					
	4ST-2-X	4	2UNP8	3.77	3.76	5	0%	0%	3.16	3.17	6	12.5%	0%	7.09	7.13	5	87.5%	87.5%	87.5%	87.5%	87.5%
		3	2UNP12	3.49	3.48	5			3.72	3.72	6			5.61	5.62	5					
		2	2UNP12	4.44	4.43	5			4.75	4.83	6			5.61	5.50	5					
		1	2UNP14	4.03	4.01	5			4.56	4.49	6			5.30	5.35	5					
	4ST-2-Y	4	2UNP8	3.44	3.43	5			3.41	3.41	6			5.98	6.02	5					
		3	2UNP12	3.38	3.37	5			4.00	4.00	6			5.06	5.05	5					
		2	2UNP12	4.33	4.32	5			5.13	5.21	6			5.05	4.98	5					
		1	2UNP14	3.89	3.88	5			4.91	4.84	6			4.77	4.81	5					
6	6ST-2-X	6	2UNP8	3.56	3.54	5	0%	0%	3.39	3.40	6	0%	0%	6.25	6.24	5	16.5%	16.5%	16.5%	16.5%	16.5%
		5	2UNP12	3.47	3.45	5			4.17	4.19	6			4.97	4.95	5					
		4	2UNP14	3.73	3.71	5			4.79	4.82	6			4.65	4.62	5					
		3	2UNP16	3.61	3.59	5			4.92	4.96	6			4.38	4.35	5					
		2	2UNP16	3.94	3.92	5			5.37	5.53	6			4.37	4.25	5					
	6ST-2-Y	6	2UNP8	3.58	3.56	5			5.16	4.99	6			4.14	4.28	5					
		5	2UNP12	3.34	3.32	5			3.65	3.66	6			5.27	5.26	5					
		4	2UNP14	3.59	3.57	5			4.49	4.51	6			4.43	4.42	5					
		3	2UNP16	3.57	3.54	5			5.13	5.20	6			4.17	4.13	5					
		2	2UNP16	3.83	3.82	5			5.27	5.34	6			4.03	3.98	5					
		1	2UNP18	3.64	3.63	5			5.65	5.37	6			3.84	4.05	5					

### نتیجه‌گیری

روش ذکر شده در این تحقیق برای مقایسه آیین‌نامه طراحی با دستورالعمل بهسازی (ارزیابی تفصیلی) و ارزیابی سریع و همچنین برای مقایسه ارزیابی سریع با تفصیلی، امكان رسیدن به نتایج کلی و مشخص کردن اختلاف‌ها را فراهم می‌کند.

#### الف) مقایسه آیین‌نامه طراحی با ارزیابی تفصیلی

در باره ساختمان‌های مورد مطالعه با کاهش ارتفاع سازه و ضریب  $\gamma$ ، امکان پاسخگویی عضو طرح شده توسط آیین‌نامه طراحی از دید ارزیابی تفصیلی کاهش می‌یابد. به عبارت دیگر اگر دو سازه مشابه فقط با تعداد طبقات متفاوت توسط ارزیابی تفصیلی بررسی شوند، اگر سازه‌ای که تعداد طبقات کمتری دارد مورد تأیید واقع شود، به طور حتم سازه بلندتر تأیید می‌شود.

نمودارها و بررسی‌های انجام شده در این مقاله نشان می‌دهند که فقط مهاربندهای طراحی شده برای ساختمان‌های کوتاه (کمتر از ۳ طبقه) امکان دارند از دید ارزیابی تفصیلی مردود شوند، به طوری که ۲۵ درصد مهاربندهای طرح شده ساختمان دو طبقه از دید ارزیابی تفصیلی مردود شدند و این بیشتر به دلیل تفاوت قابل ملاحظه نیروهای زلزله در دو روش آیین‌نامه طراحی و ارزیابی تفصیلی برای ساختمان‌های کوتاه است. ولی در کل محدوده قابل ملاحظه‌ای (به طور تقریبی ۹۵ درصد) از مهاربندهای طرح شده توسط آیین‌نامه طراحی از دید ارزیابی تفصیلی نیز قابل قبول هستند و این نتیجه بر خلاف نتایج برخی کارهای انجام شده تا اکنون برای مقایسه آیین‌نامه طراحی با دستورالعمل بهسازی است که البته تغییر معیار پذیرش  $m$  ارزیابی تفصیلی برای مهاربندهای زوج ناودانی از مقدار ۳ به ۵ و اصلاح آن طبق FEMA356 و همچنین تعیین دقیق عوامل مؤثر برای مقایسه در این تحقیق، دلیل این اختلاف نتیجه‌گیری است.

#### ب) مقایسه آیین‌نامه طراحی با ارزیابی سریع

به طور کلی می‌توان گفت در مهاربندهای، با کاهش ضرایب  $\gamma$  و همچنین با کاهش ارتفاع ساختمان، امکان پاسخگویی عضو طرح شده توسط آیین‌نامه طراحی، از دید ارزیابی سریع کاهش می‌یابد. با این حال محدوده قابل

#### ج) مقایسه آیین‌نامه طراحی با ارزیابی سریع

در این قسمت جدول (۹) مهاربندهای طراحی شده با ارزیابی سریع کنترل می‌شود که شامل مقادیر  $m_r^{dq}$  به دست آمده از نتایج کنترل سریع مطابق با روش ارزیابی سریع، مقادیر  $m$  مجاز طبق معیار پذیرش ارزیابی سریع ( $m=6$ ) و همچنین مقادیر  $m_d^q$  تعریف شده طبق بخش (۶-۲-۲) است. با دقت در مقادیر  $m_d^q$  و  $m_r^{dq}$  می‌توان پی برد که انطباق خوبی بین آن‌ها وجود دارد. بنابراین می‌توان نتایج قسمت قبلی (مقایسه پارامتریک) را با اعتبار بیشتری به کار برد. نکته قابل توجهی که از این قسمت جدول باید بدان اشاره کرد، این است که برخلاف انتظار، مبنی بر محافظه‌کارانه بودن روش آیین‌نامه طراحی، امکان مردود شدن مهاربندهای طرح شده از دید ارزیابی سریع وجود دارد، ولی در کل، اکثر (به طور تقریبی ۹۵ درصد) مهاربندهای طراحی شده، از دید ارزیابی سریع نیز قابل قبول هستند.

#### د) مقایسه ارزیابی سریع با ارزیابی تفصیلی

در این قسمت، جدول (۹) مهاربندهای مقبول از دید ارزیابی سریع با ارزیابی تفصیلی کنترل می‌شوند که شامل مقادیر  $m$  مجاز طبق معیار پذیرش ارزیابی تفصیلی ( $m=5$ ) و همچنین مقادیر  $m_q^c$  تعریف شده طبق بخش (۶-۳-۲) است. در ضمن با دقت در مقادیر  $m_r^{dc}$  و  $m_r^{dq}$  و مقایسه آنها می‌توان با مقادیر  $m_q^c$  به رابطه منطقی آنها پی برد. به این ترتیب که اغلب با ضعیفتر کردن مهاربندها تا حدودی که معیار پذیرش ارزیابی سریع رعایت شود ( $m=6$ )، امکان مقبول شدن آنها را از دید ارزیابی تفصیلی بررسی می‌شود و نتیجه این است که انطباق خوبی بین آن‌ها وجود دارد (بین  $m_q^c$  و مقادیر  $m_r^{dc}$  و  $m_r^{dq}$ ). بنابراین می‌توان نتایج قسمت قبلی (مقایسه پارامتریک) را با اعتبار بیشتری به کار برد. نکته‌ای که باید بدان اشاره کرد این است که به طور تقریبی ۵۰ درصد مهاربندهای مقبول از دید ارزیابی سریع، از دید ارزیابی تفصیلی مردود هستند و این موضوع با توجه به منطق محافظه‌کارانه بودن ارزیابی سریع نسبت به تفصیلی، خلاف انتظار است.

مهاربندهای مقبول توسط ارزیابی سریع، از دید ارزیابی تفصیلی کاهش می‌یابد. لازم به ذکر است که تأثیر ضریب  $\lambda$  نسبت به ضریب  $\gamma$  بیشتر است. همچنین محدوده قابل ملاحظه‌ای (به طور تقریبی  $50^{\circ}$  درصد) از مهاربندهای مقبول از دید ارزیابی سریع، از دید ارزیابی تفصیلی مردود هستند و این نتیجه‌گیری بر خلاف این انتظار است که روش ارزیابی سریع نسبت به روش تفصیلی محافظه‌کارانه است.

ملاحظه‌ای (به طور تقریبی ۹۵ درصد) از مهاربندهای طرح شده توسط آیین‌نامه طراحی از دید ارزیابی سریع نیز مقبول هستند.

**ج) مقایسه ارزیابی سریع با ارزیابی تفصیلی**  
نمودارها و بررسی‌های انجام‌شده در این مقاله ت Shan می‌دهند که برای سیستم مورد مطالعه با کاهش ضریب  $\lambda$  و ارتفاع سازه و همچنین با افزایش  $\gamma$  (نسبت نیروهای ثقلی به زلزله ارزیابی تفصیلی)، امکان پاسخگویی

## مراجع

- 1 - Federal Emergency Management Agency, FEMA-273, (1997). *NEHRP Guidelines for the Seismic Rehabilitation of Buildings*, Building Seismic Safety Council, Washington DC.
- 2 - Federal Emergency Management Agency, FEMA-356, (2000). *Prestandard and Commentary for the Seismic Rehabilitation of Buildings*, Building Seismic Safety Council, Washington DC.
- 3 - American Society of Civil Engineers, ASCE/SEI 31-03, (2003). *Seismic Evaluation of Existing Buildings*, Reston, Virginia.
- 4 - International Institute of Earthquake Engineering and Sismology, (2002). *Guidelines for the Seismic Rehabilitation of Buildings*.
- 5 - International Institute of Earthquake Engineering and Sismology, (2006). *Guidelines for the Quick Seismic Evaluation of Existing Buildings*.
- 6 - Ministry of Housing & Urban Development, (2001). *Iranian National Building Code, Section 10, Design and Execution of Steel Buildings*.
- 7 - Building & Housing Research Center, (1999). *Iranian Code of Practice for Seismic Resistant Design of Buildings*, Standard 2800, 2nd Edition.
- 8 - Building & Housing Research Center, (2004). *Iranian Code of Practice for Seismic Resistant Design of Buildings*, Standard 2800, 3rd Edition.
- 9 - Etabs2000 Integrated Finite Element Analysis and Design of Building, *Computers and Structures*, Inc., (2004). User manual, Ver. 8.5.0, Berkeley, California.